

A. MATERIAIS UTILIZADOS NO CONFINAMENTO E IMPREGNAÇÃO

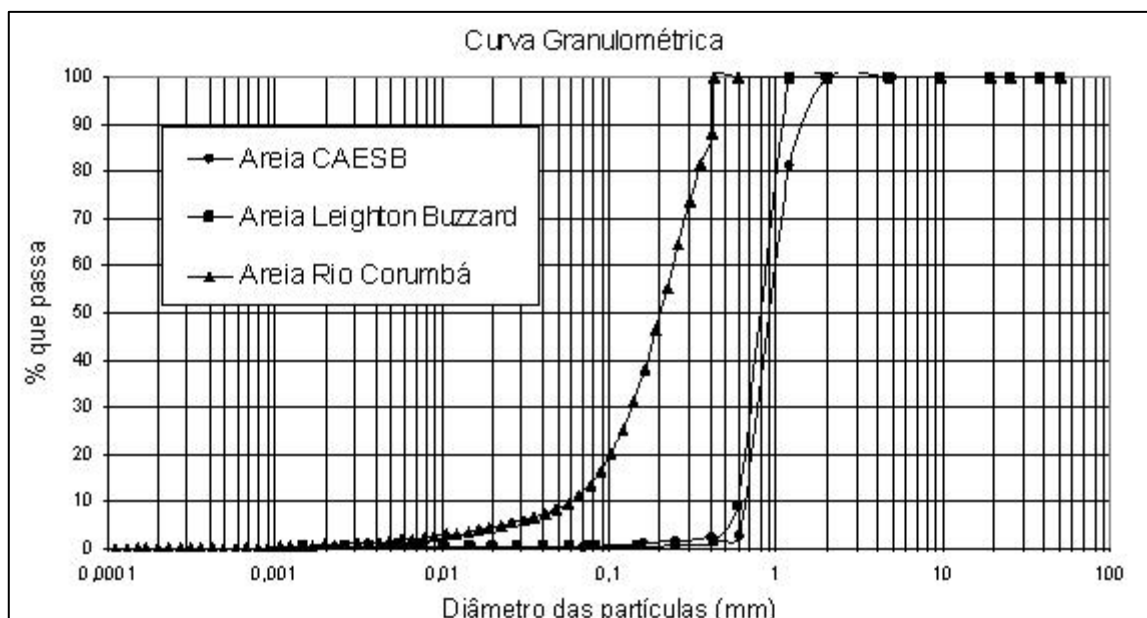


Figura A.1 – Curvas granulométricas dos materiais usados no confinamento

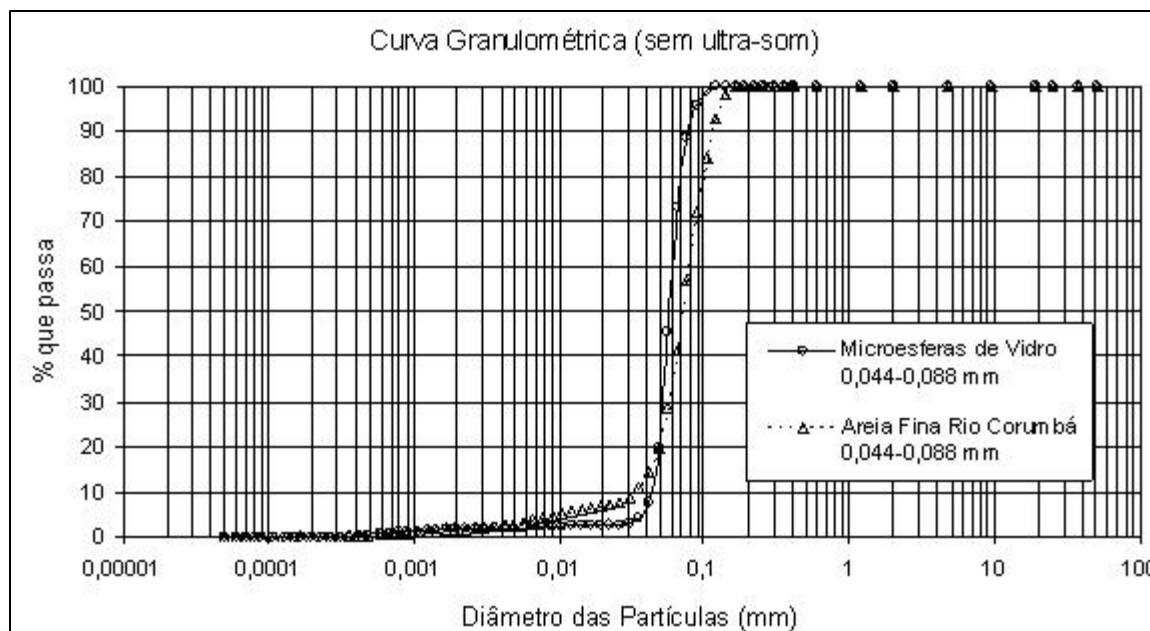


Figura A.2 - Curvas granulométricas dos materiais usados para impregnação.

## B. CURVAS DOS ENSAIOS COM GEOTÊXTEIS VIRGENS

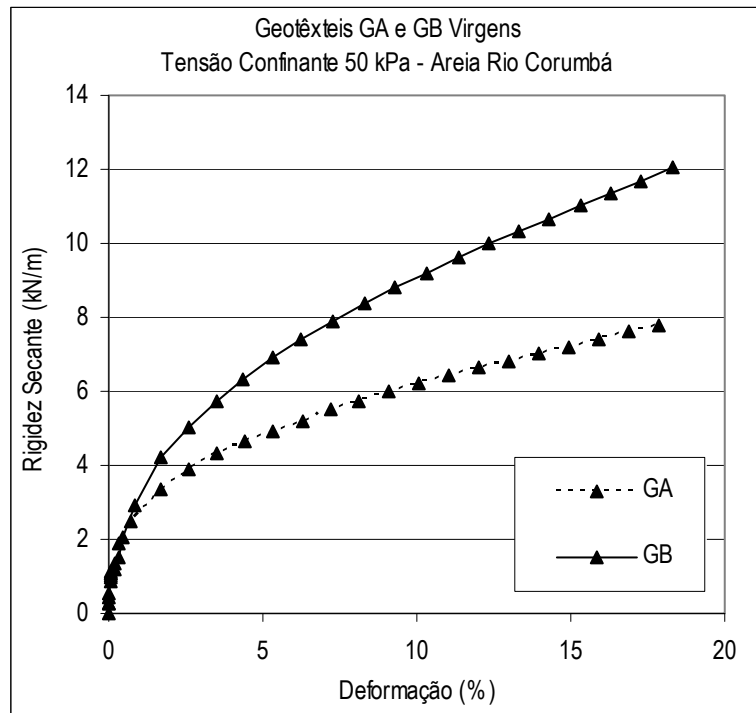


Figura B.1 – Curvas carga-deformação dos geotêxteis GA e GB confinados a 50 kPa em ARC.

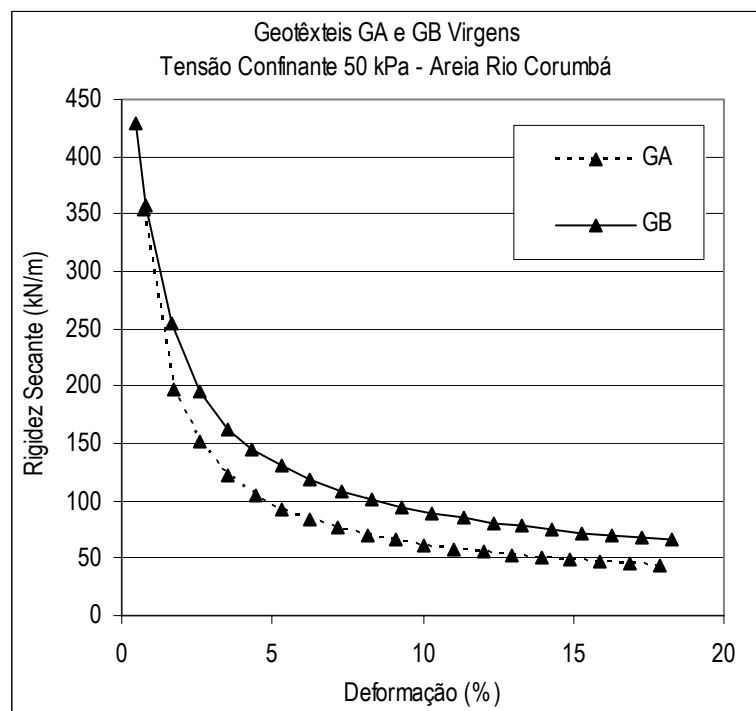


Figura B.2 - Curvas rigidez-deformação dos geotêxteis GA e GB confinados a 50 kPa em ARC.

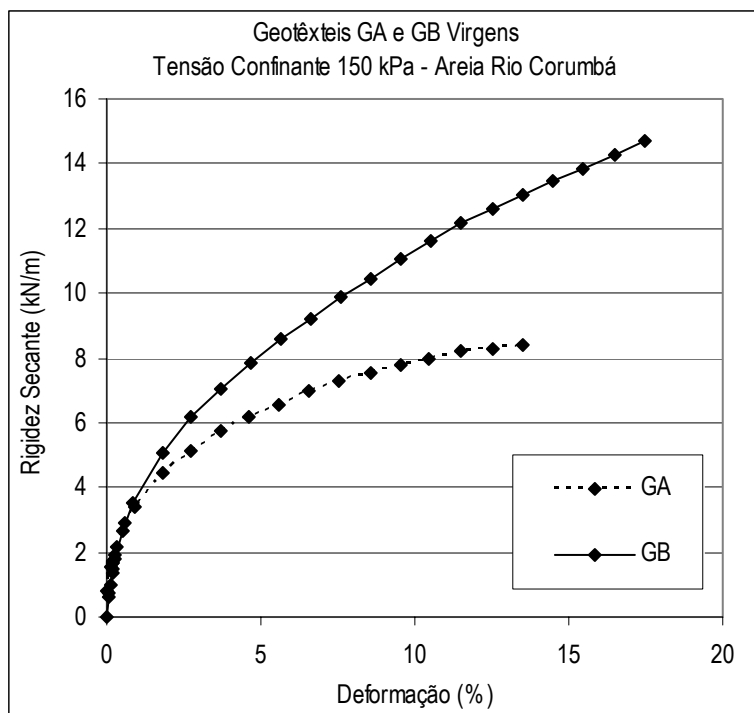


Figura B.3 – Curvas carga-deformação dos geotêxteis GA e GB confinados a 150 kPa em ARC.

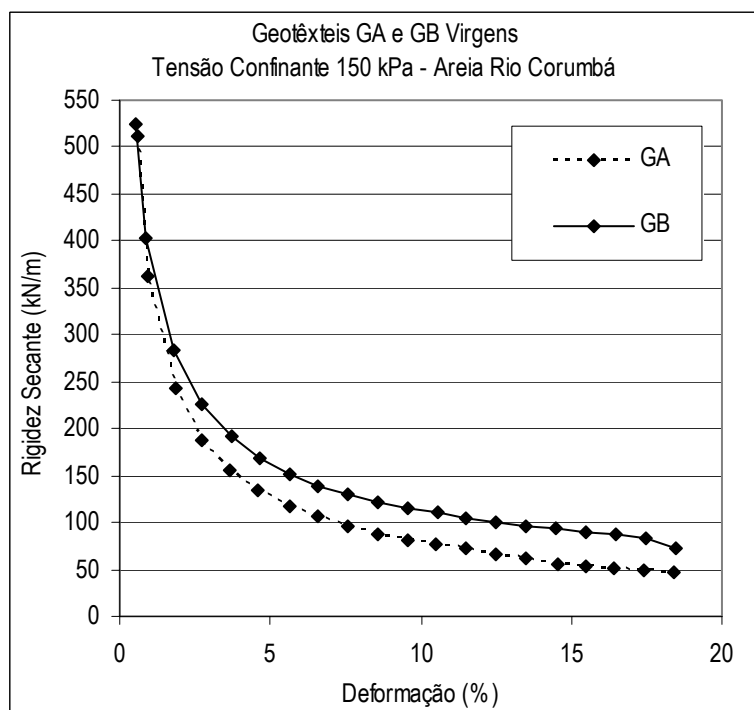


Figura B.4 – Curvas rigidez-deformação dos geotêxteis GA e GB confinados a 150 kPa em ARC.

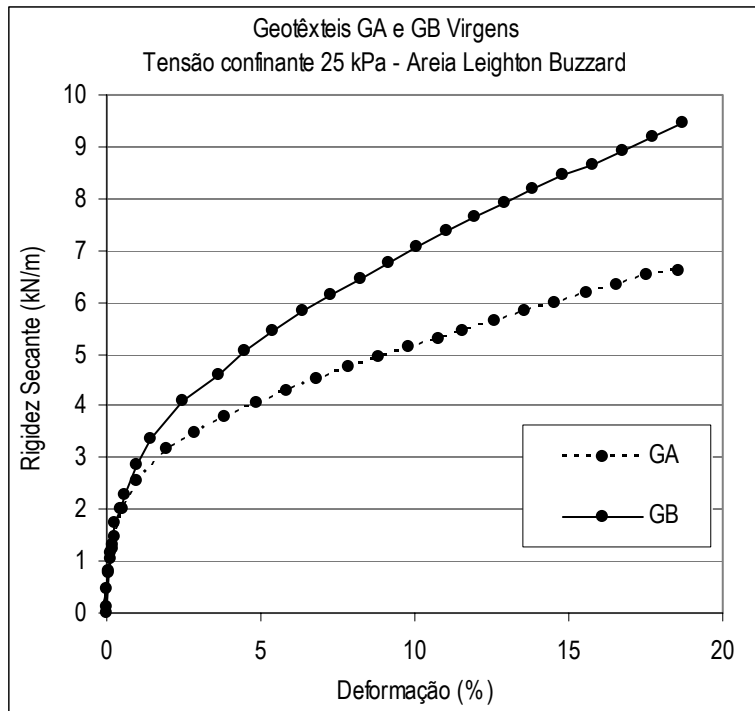


Figura B.5 - Curvas carga-deformação dos geotêxteis GA e GB confinados a 25 kPa em ALB.

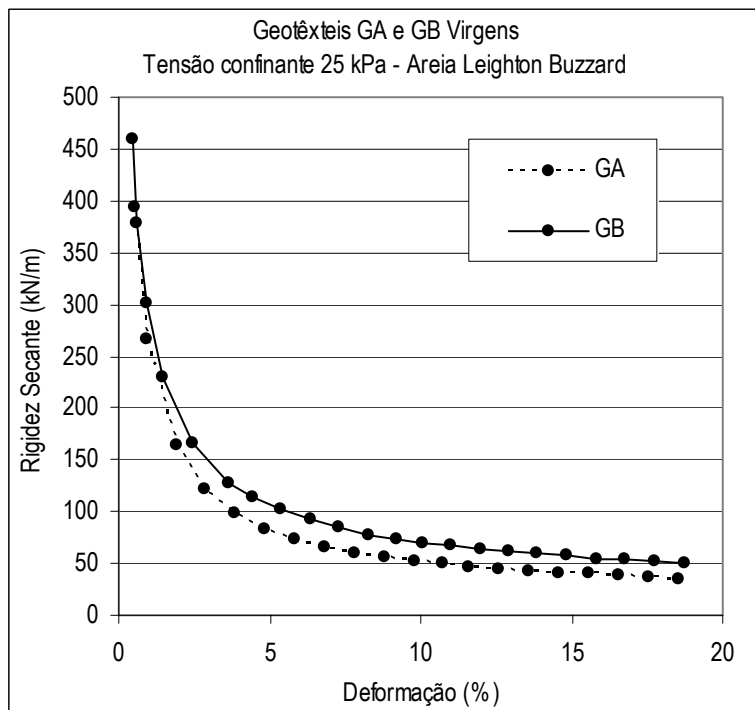


Figura B.6 - Curvas rigidez-deformação dos geotêxteis GA e GB confinados a 25 kPa em ALB.

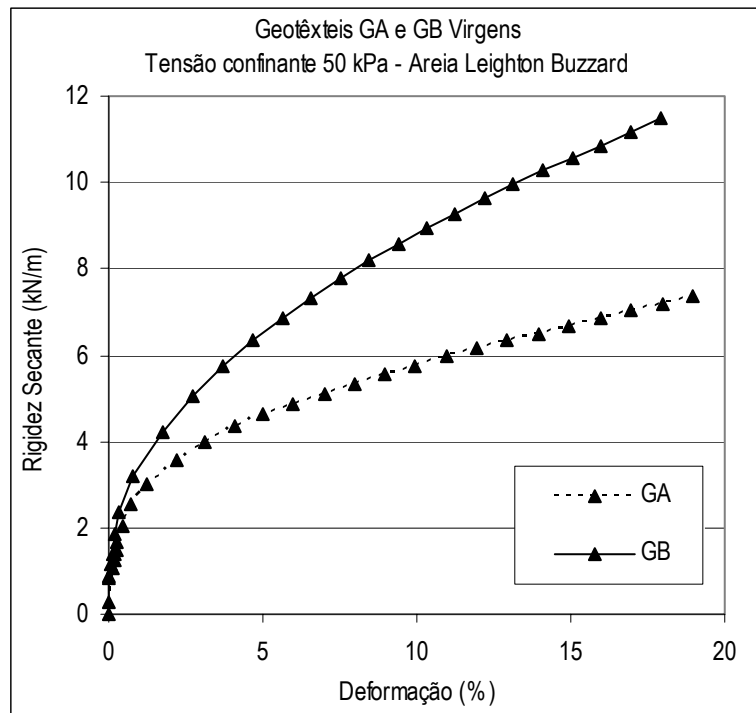


Figura B.7 - Curvas carga-deformação dos geotêxteis GA e GB confinados a 50 kPa em ALB.

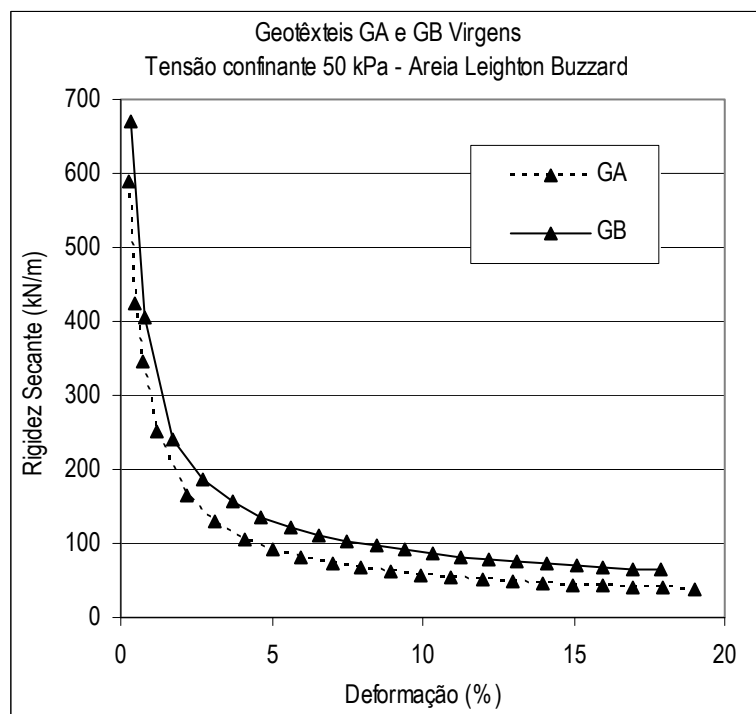


Figura B.8 - Curvas rigidez-deformação dos geotêxteis GA e GB confinados a 50 kPa em ALB.

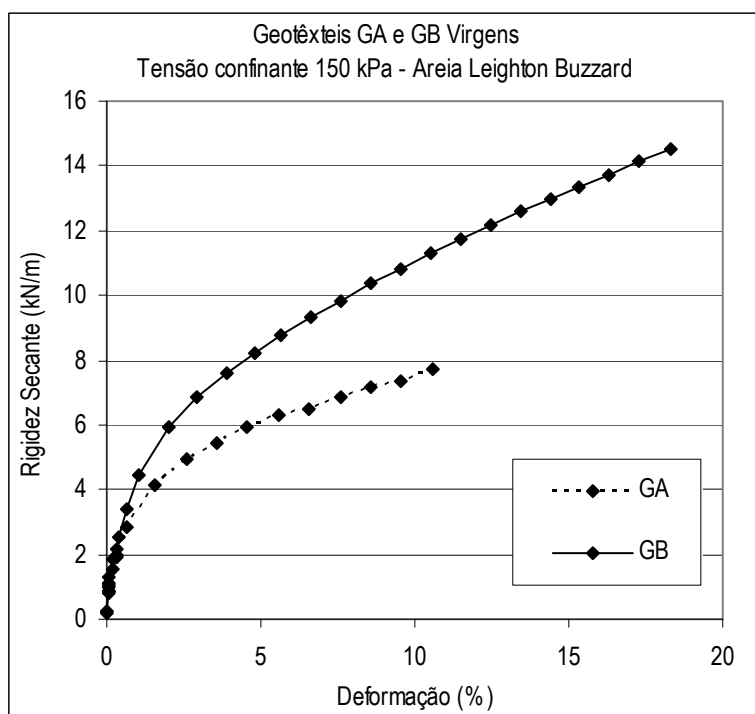


Figura B.9 - Curvas carga-deformação dos geotêxteis GA e GB confinados a 150 kPa em ALB.

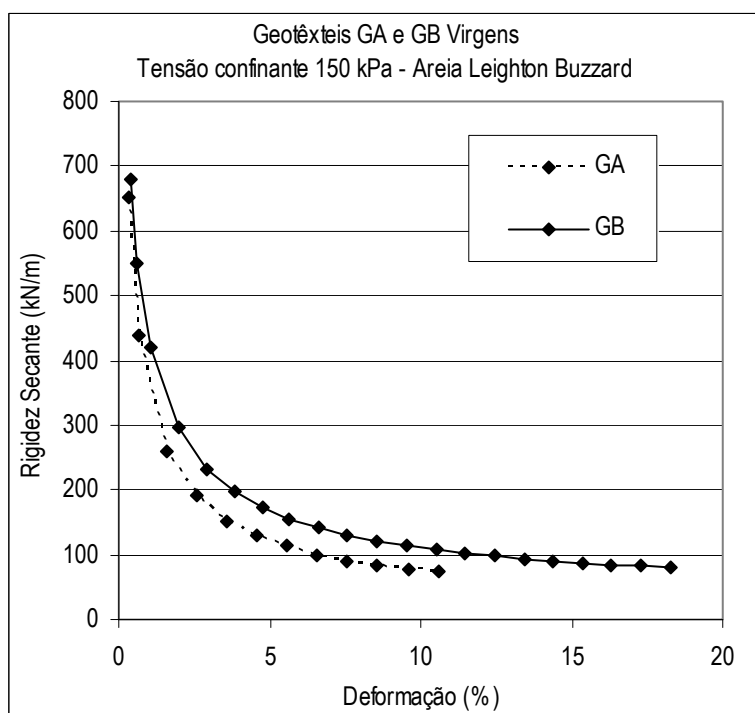


Figura B.10 - Curvas rigidez-deformação dos geotêxteis GA e GB confinados a 150 kPa em ALB.

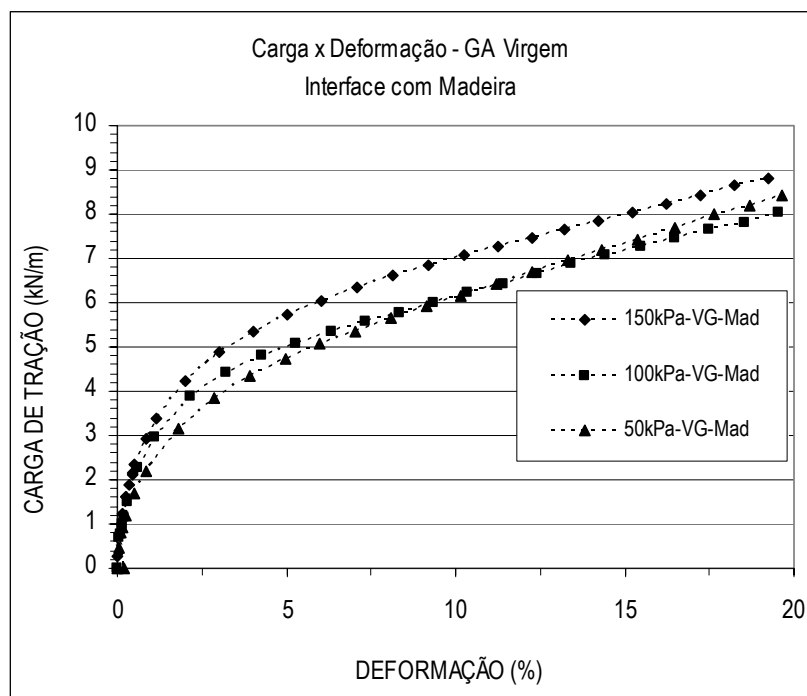


Figura B.11 – Curva carga-deformação de geotêxteis GA confinados em Madeira.

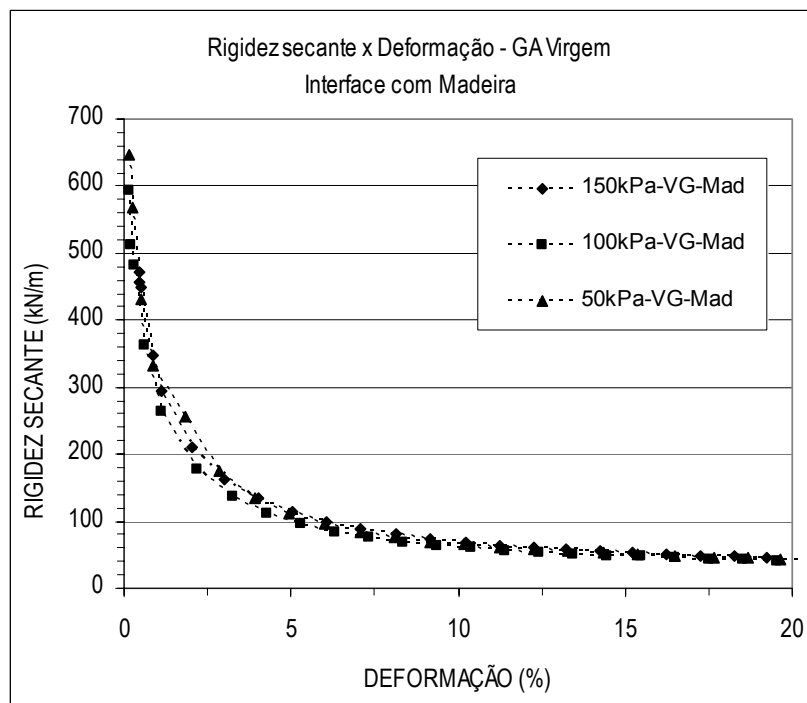


Figura B.12 - Curva rigidez-deformação de geotêxteis GA confinados em Madeira.

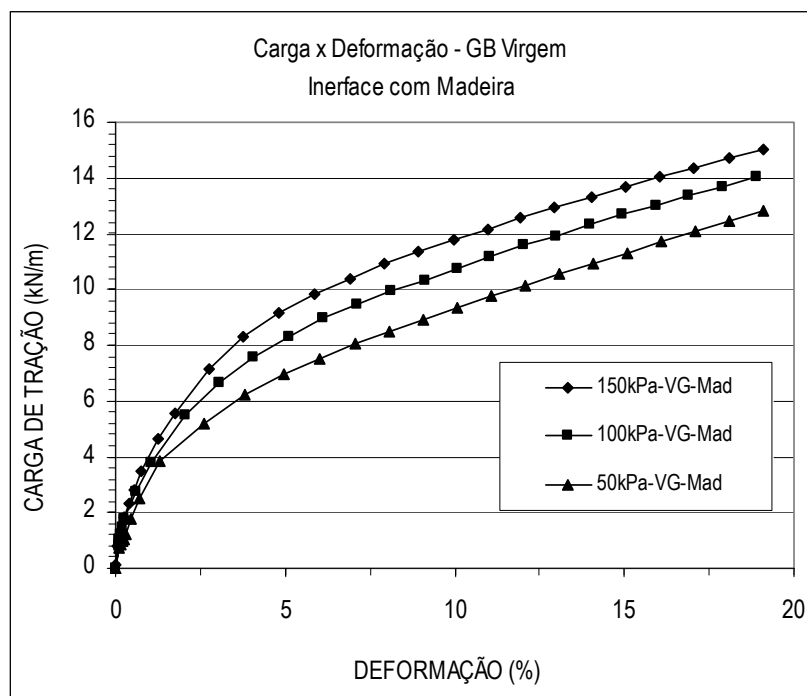


Figura B.13 – Curva carga-deformação de geotêxteis GB confinados em Madeira.

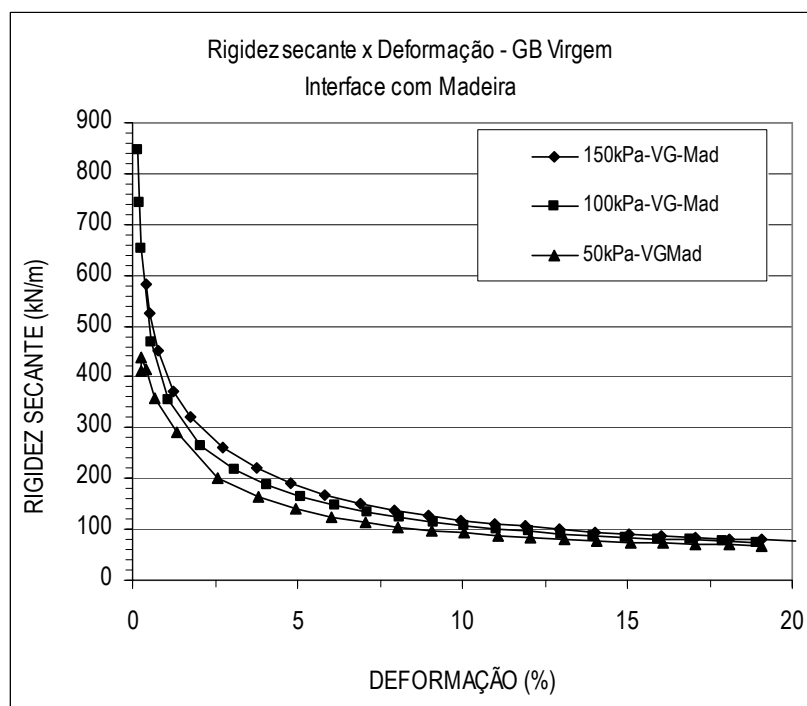


Figura B.14 - Curva rigidez-deformação de geotêxteis GB confinados em Madeira.

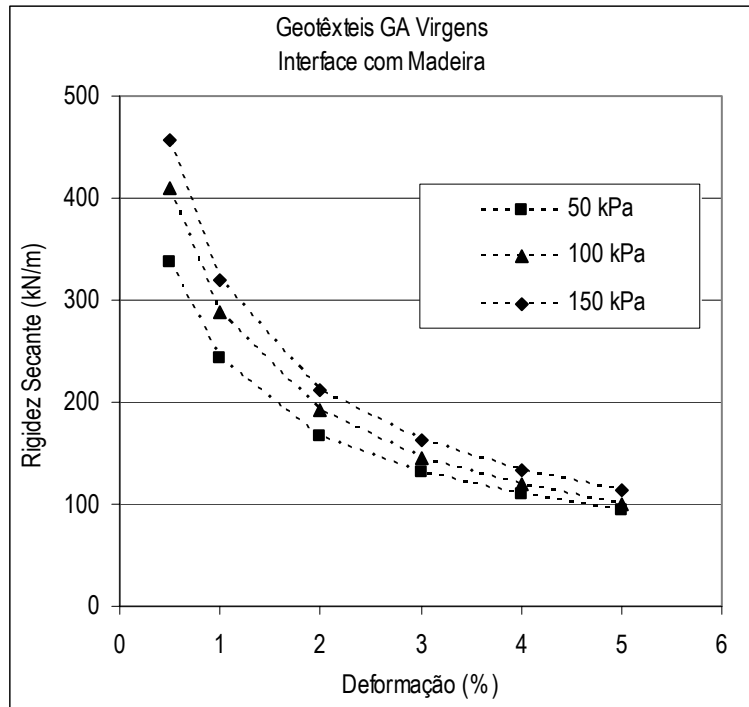


Figura B.15 – Rigidez-deformação (menores que 5%) - GA confinados em Madeira.

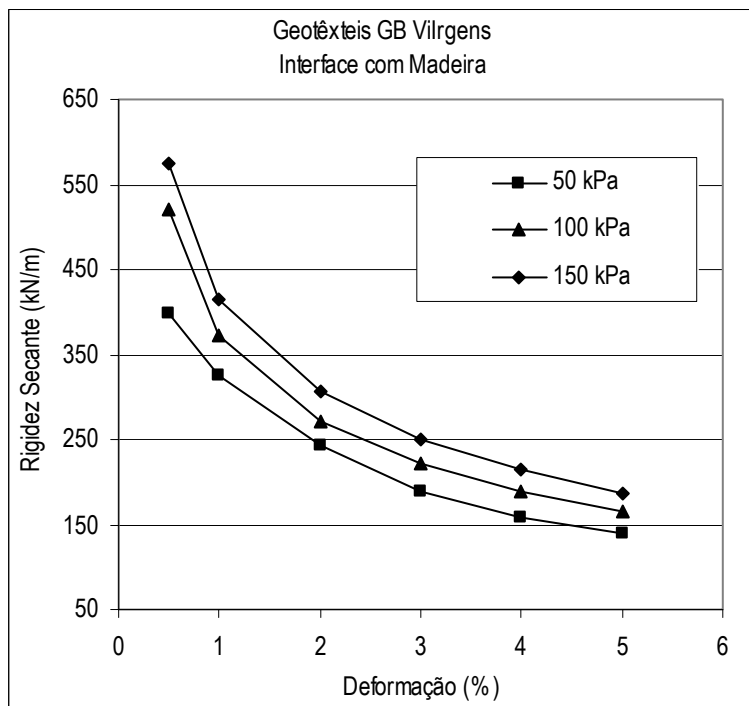


Figura B.16 - Rigidez-deformação (menores que 5%) - GB confinados em Madeira.

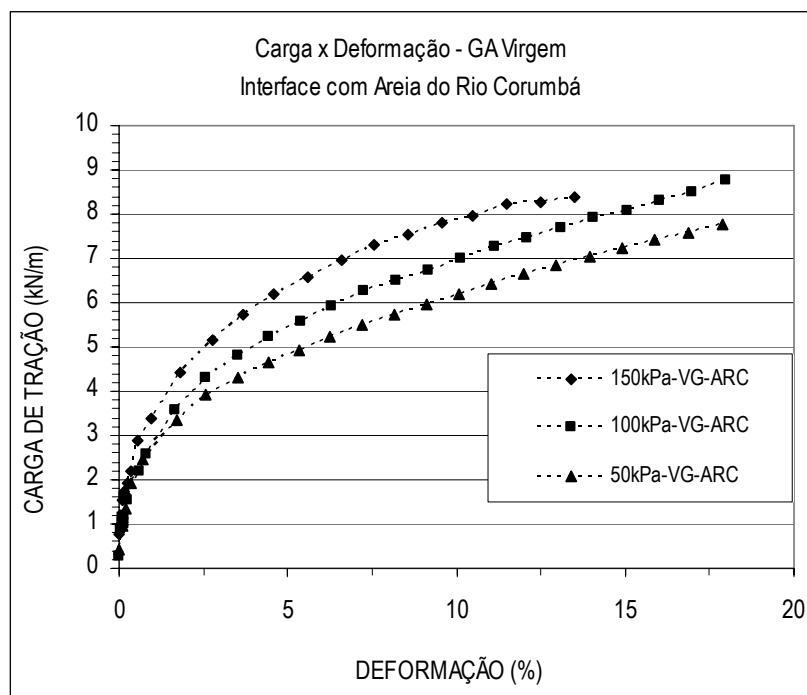


Figura B.17 – Curva carga-deformação de geotêxteis GA confinados em ARC.

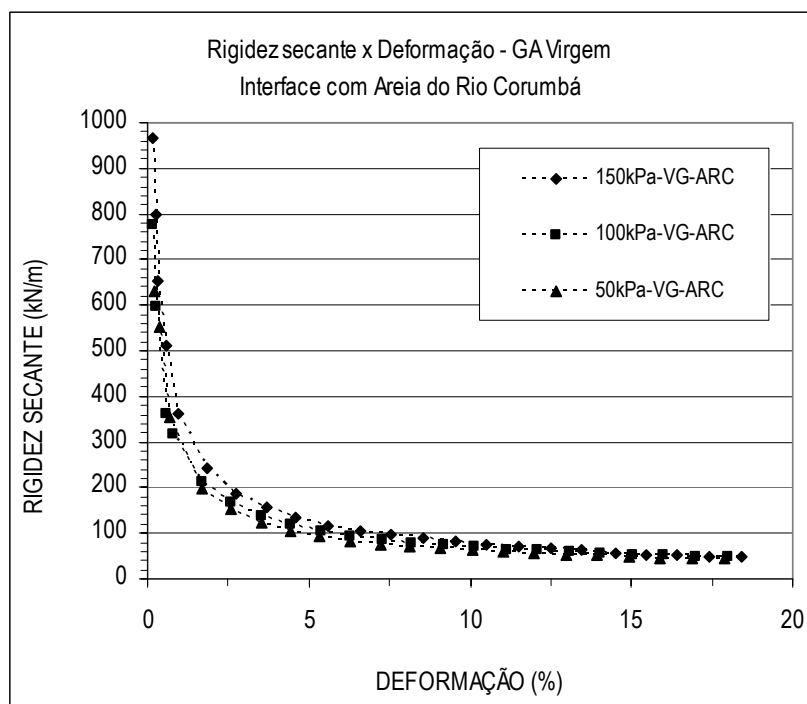


Figura B.18 - Curva rigidez-deformação de geotêxteis GA confinados em ARC.

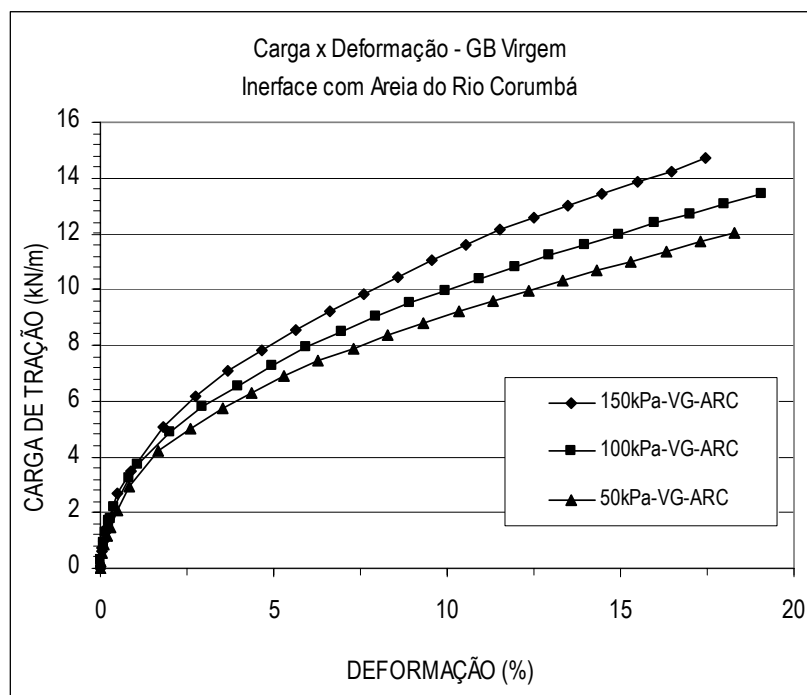


Figura B.19 - Curva carga-deformação de geotêxteis GB confinados em ARC.

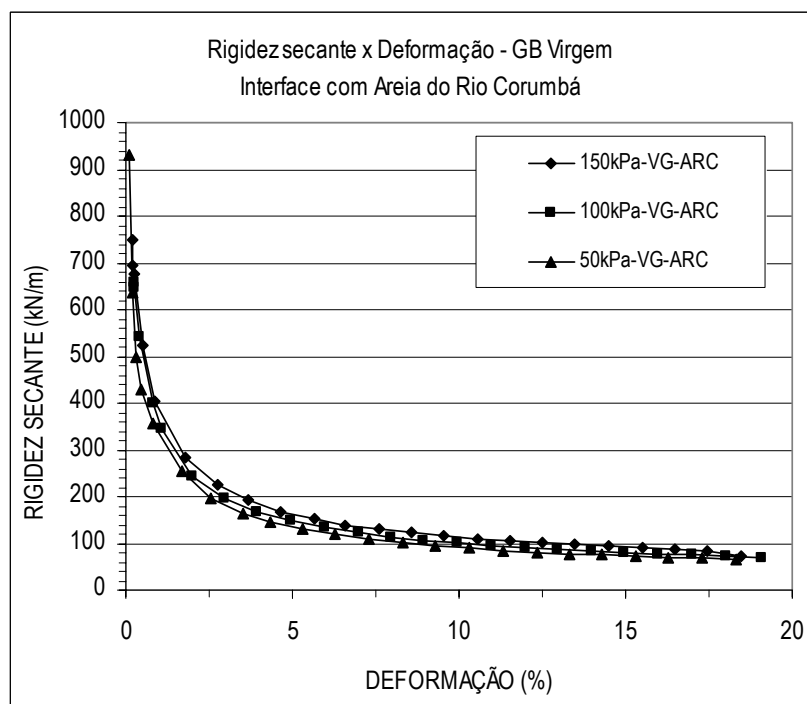


Figura B.20 - Curva rigidez-deformação de geotêxteis GB confinados em ARC.

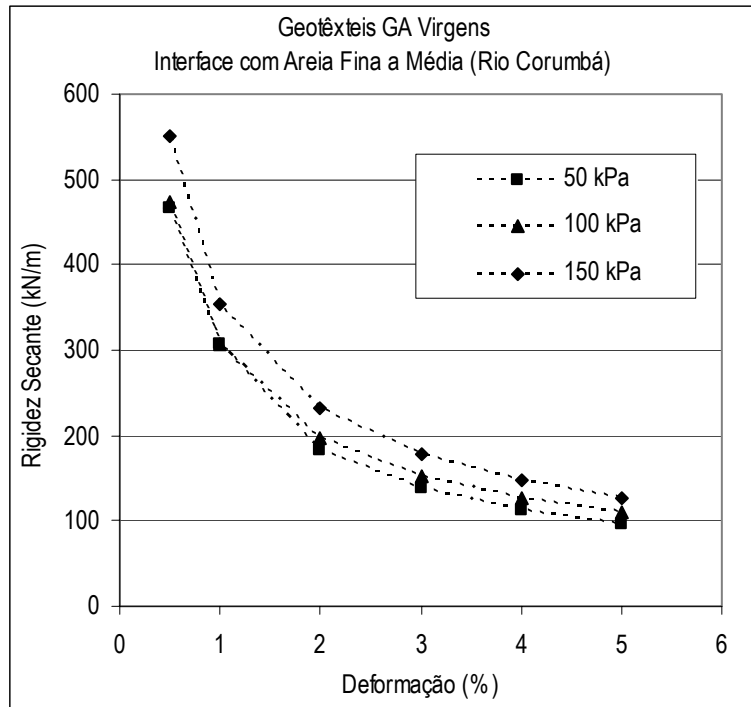


Figura B.21 – Rigidez-deformação (menores que 5%) - GA confinados em ARC.

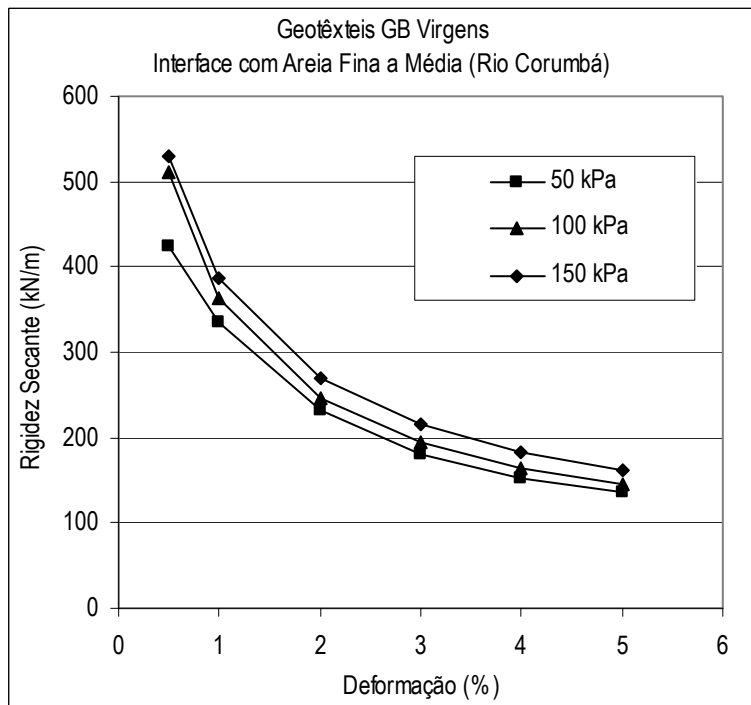


Figura B.22 – Rigidez-deformação (menores que 5%) - GB confinados em ARC.

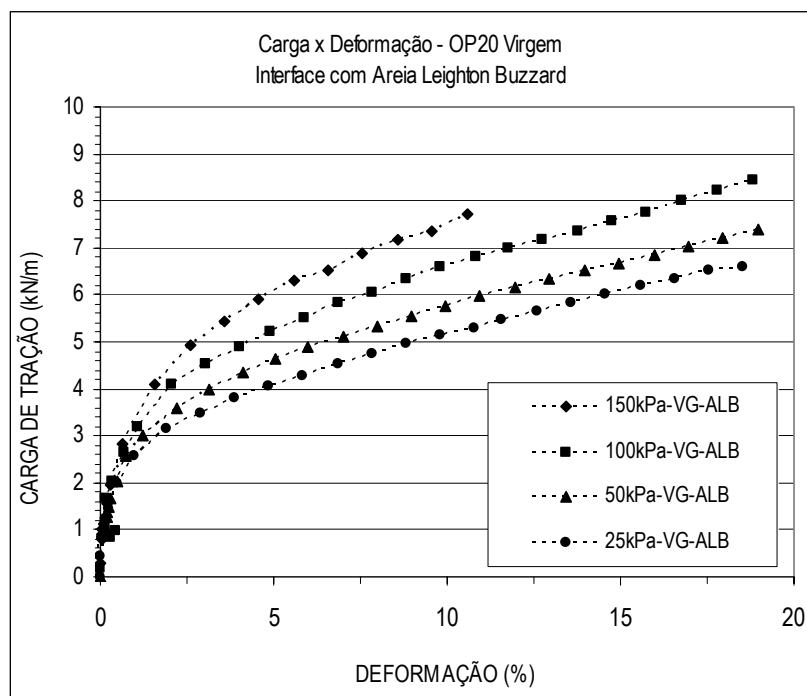


Figura B.23 - Curva carga-deformação de geotêxteis GA confinados em ALB.

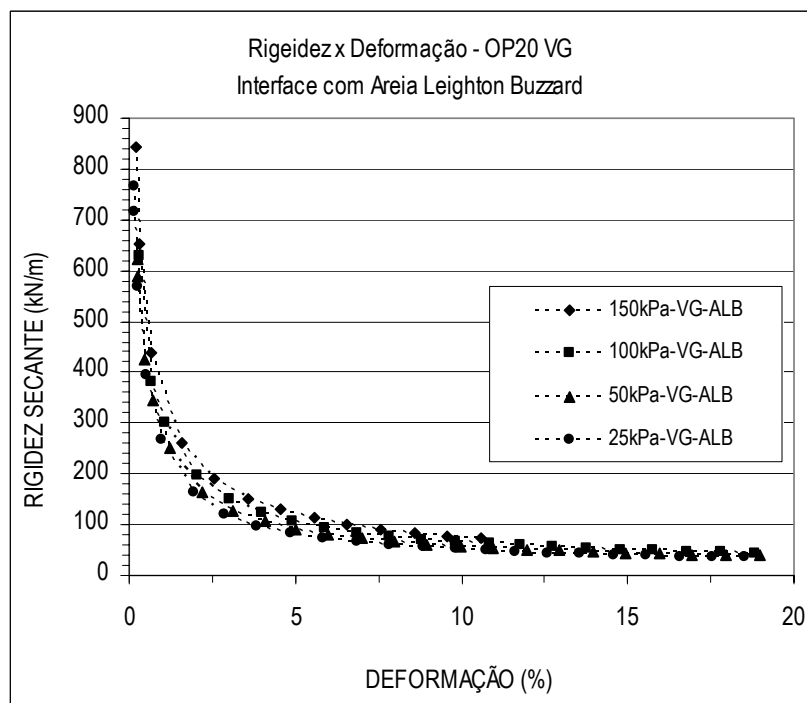


Figura B.24 - Curva rigidez-deformação de geotêxteis GA confinados em ALB.

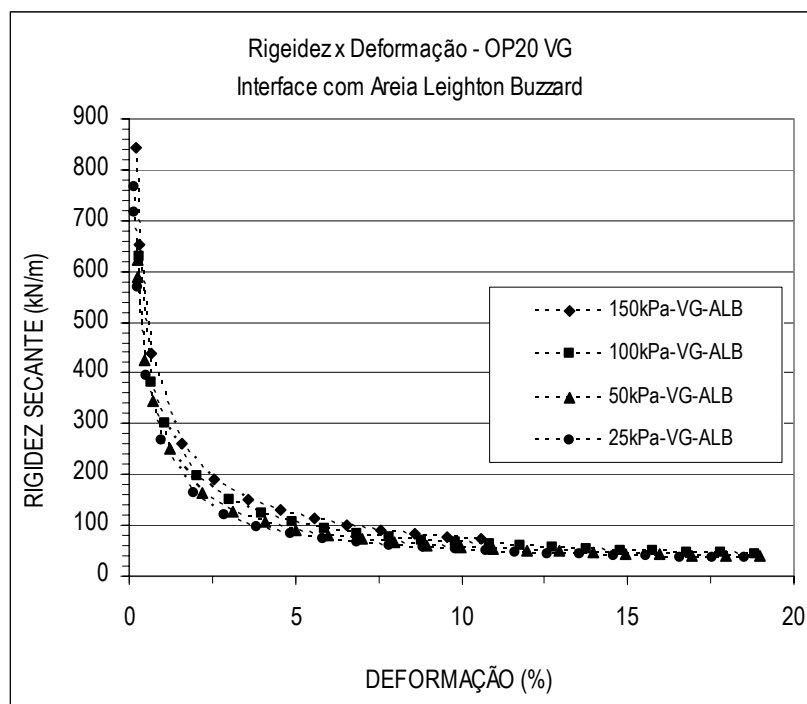


Figura B.25 - Curva carga-deformação de geotêxteis GB confinados em ALB.

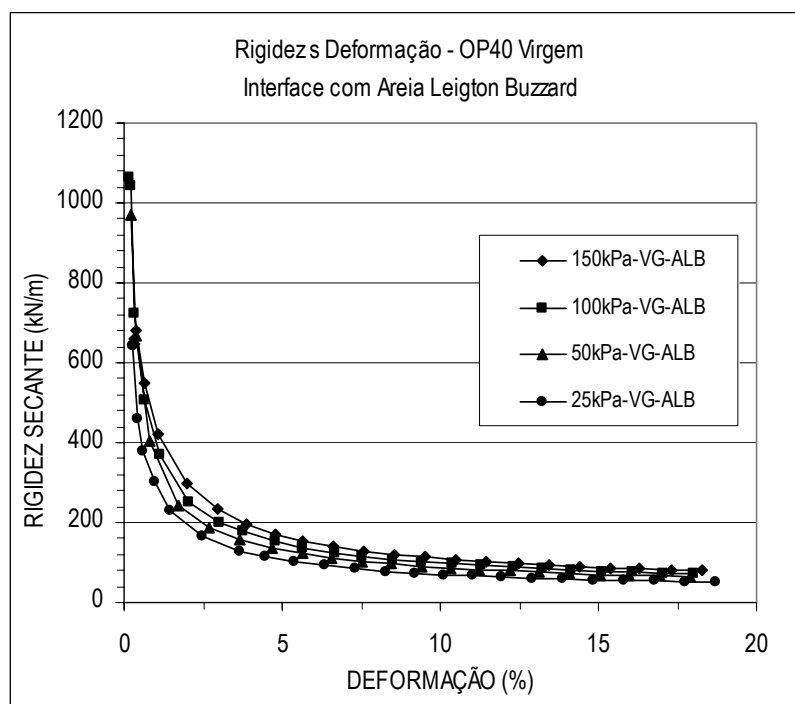


Figura B.26 - Curva rigidez-deformação de geotêxteis GB confinados em ALB.

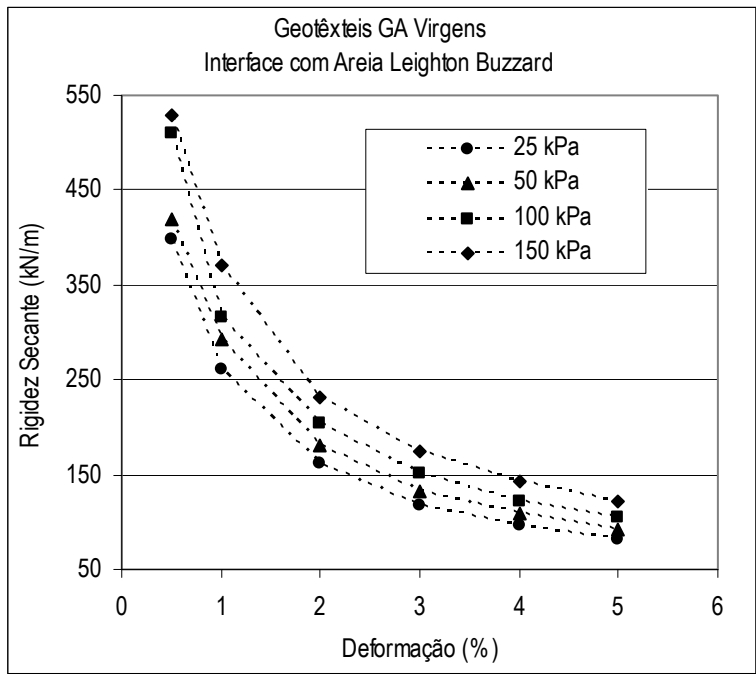


Figura B.27 - Rigidez-deformação (menores que 5%) - GA confinados em ALB.

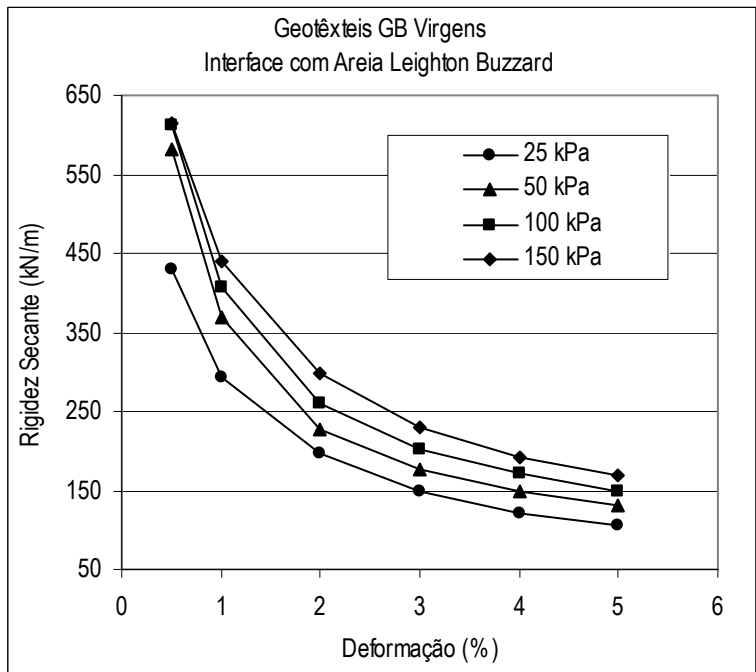


Figura B.28 - Rigidez-deformação (menores que 5%) - GB confinados em ALB.

### C. FUNÇÕES RIGIDEZ-DEFORMAÇÃO

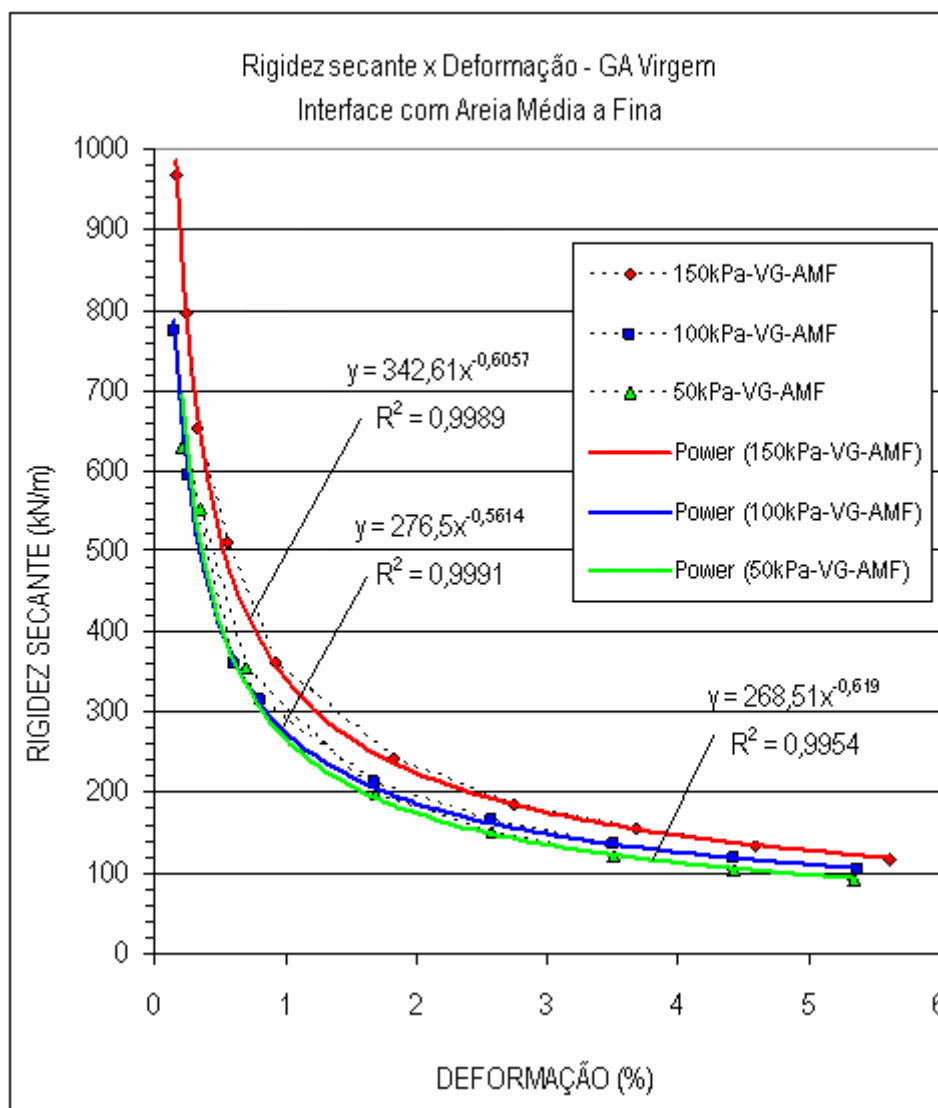


Figura C.1 - Funções rigidez-deformação de geotêxteis GA confinados em ARC.

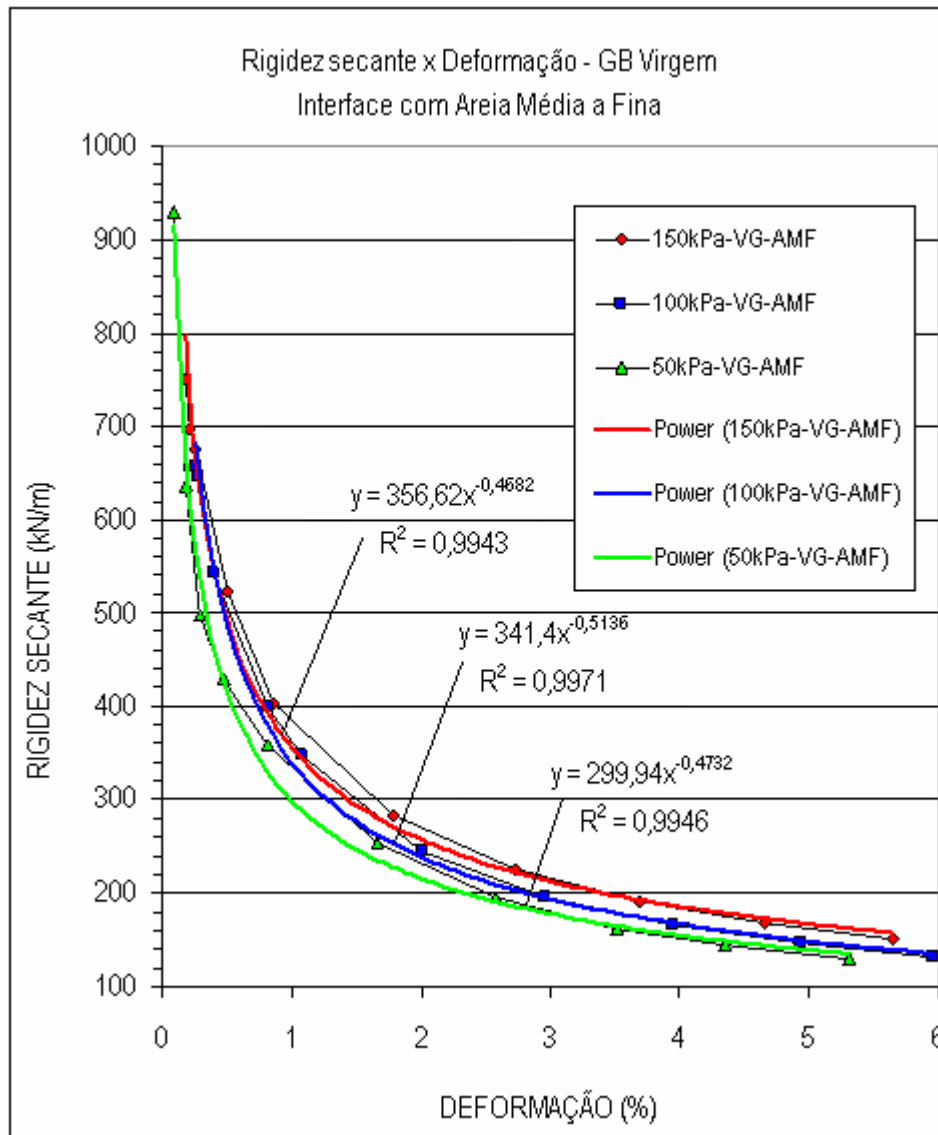


Figura C.2 - Funções rigidez-deformação de geotêxteis GB confinados em ARC.

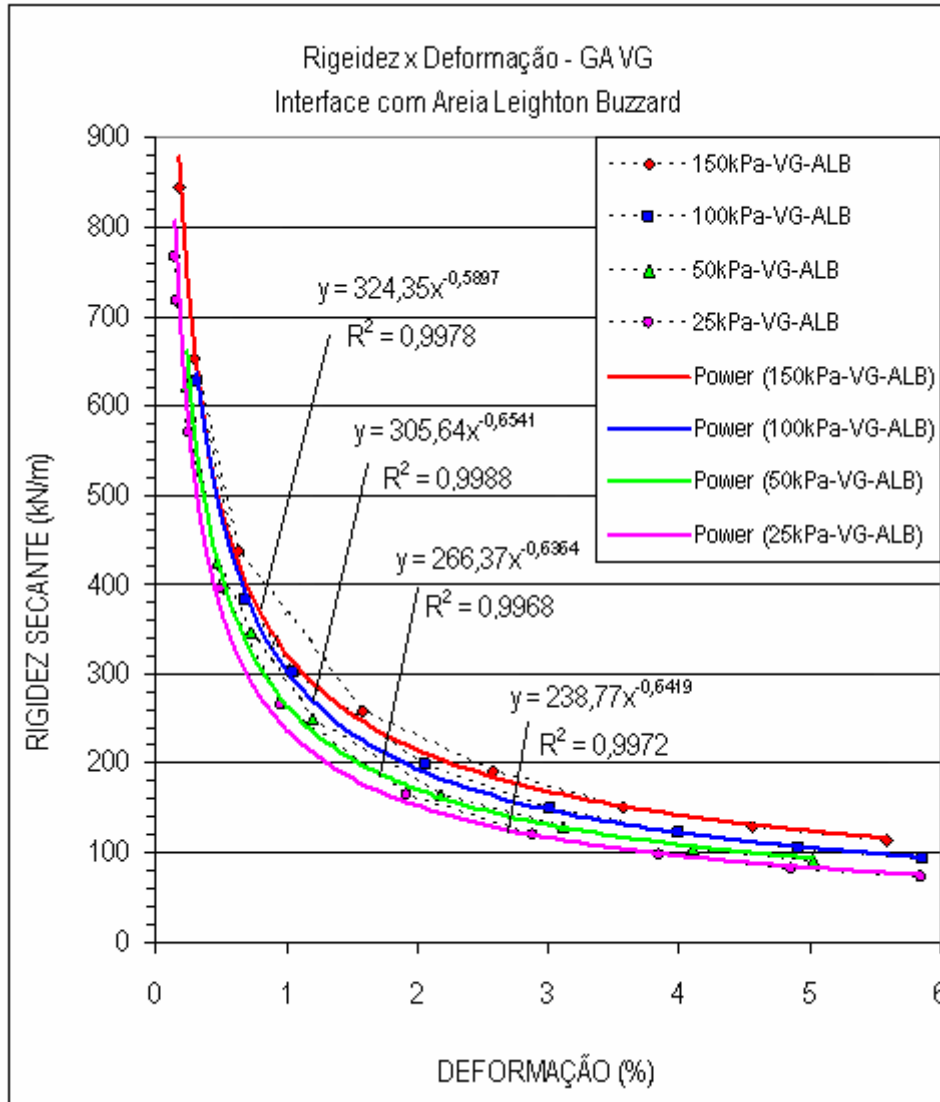


Figura C.3 - Funções rigidez-deformação de geotêxteis GA confinados em ALB.

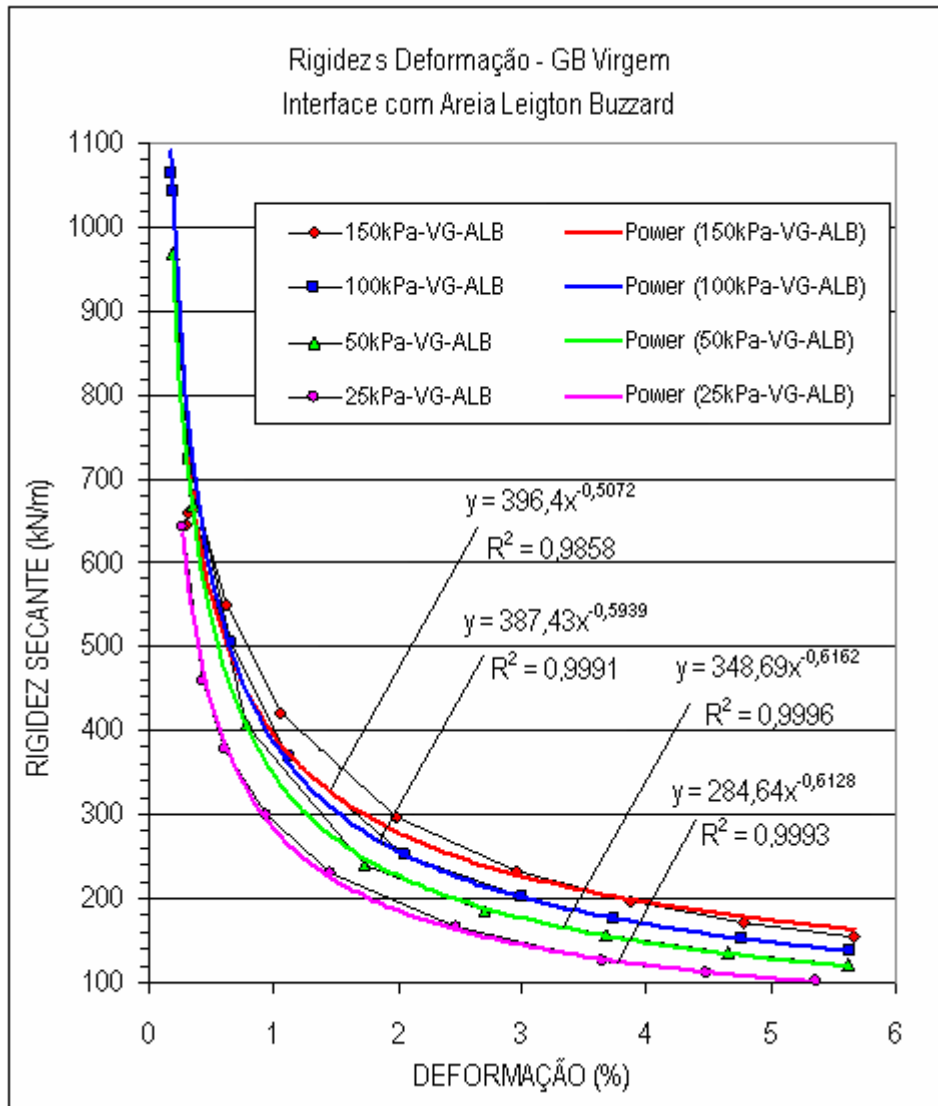


Figura C.4 – Funções rigidez-deformação de geotêxteis GB confinados em ALB.